

بررسی اثر عصاره جفت بلوط بر روند شکل‌گیری تجمعات آمیلوئیدی و تجمع‌زدایی

فیبرهای پروتئین لیزوژیم سفیده تخمرغ

معصومه فرامرزیان و دکتر سیف‌اله بهرامی کیا*

ایران، خرم‌آباد، دانشگاه لرستان، گروه زیست‌شناسی

تاریخ دریافت: ۱۳۹۸/۰۷/۰۱ تاریخ پذیرش: ۱۳۹۹/۰۲/۲۴

چکیده

در شرایط نرمال فیزیولوژیکی، پروتئین‌ها عمده‌تاً دارای ساختار کروی و محلول در آب هستند. در برخی شرایط پروتئین‌ها به ساختارهایی بنام فیبریل‌ها یا پلاک‌های آمیلوئیدی که نامحلول و بیماری‌زا هستند تبدیل می‌شوند. در این مطالعه، اثرات عصاره هیدروالکلی جفت بلوط ایرانی (*Quercus brantii*) بر شکل‌گیری فیبریل‌های لیزوژیم سفیده تخمرغ و همچنین اثر این عصاره بر حذف فیبریل‌های از پیش شکل‌گرفته بررسی شده است. به همین منظور لیزوژیم سفیده تخمرغ در حضور و غیاب عصاره هیدروالکلی جفت بلوط در دمای ۶۰°C بمدت ۱۵ روز انکوبه شد. اثر عصاره با استفاده از آزمون‌های اتصال CR، طیف سنجی CD و تست فلورسانس THT و ANS و میکروسکوپ FE-SEM مورد بررسی قرار گرفت. نتایج نشان داد که عصاره جفت بلوط در تمامی نسبت‌های مورد آزمایش دارای اثر مهاری بر شکل‌گیری فیبریل‌های آمیلوئید است. همچنین عصاره جفت اثر تسريع‌کننده بر تجمع‌زدایی فیبریل‌های آمیلوئیدی دارد و بیشترین اثر بر تجمع‌زدایی فیبریل‌های در نسبت ۱:۰/۵ عصاره به فیبریل مشاهده می‌شود. از نتایج بدست آمده در این مطالعه می‌توان نتیجه گرفت که جفت بلوط حاوی ترکیباتی است که می‌تواند بعنوان عوامل موثر در تهیه داروها برای حذف پلاک‌های آمیلوئیدی در درمان بیماری‌های وابسته به آمیلوئید بکار گرفته شود.

واژه‌های کلیدی: *Quercus brantii*. عصاره بلوط، فیبریل‌های آمیلوئید، بیماری‌های آمیلوئیدی، پلاک‌های آمیلوئیدی، لیزوژیم سفیده تخمرغ، HEWL

* نویسنده مسئول، تلفن: ۰۹۱۶۶۶۱۴۰۸۲، پست الکترونیکی: bahramikia.s@lu.ac.ir

مقدمه

متفاوتی در نظر گرفته شده است. از جمله این رویکردها می‌توان به مواردی مانند استفاده از مهارکننده‌های مولکولی کوچک (۱۸)، استفاده از پیتیدهای مینی‌چاپرون مصنوعی (۲۹)، پیوند بافت آمیب دیده (۳۰)، تثبیت ساختار فرم محلول پروتئین، ژن درمانی در مواردی که بیماری آمیلوئیدی منشاء ژنتیکی داشته باشد (۱۶)، مهار تولید پروتئین آمیوئیدوژنیک یا پیش‌سازهای آن، مهار شکسته-شدن پروتئین‌های پیش‌ساز و تبدیل شدن آن‌ها به فرم‌های آمیلوئیدوژنیک در پروتئین‌هایی مثل آمیلوئید بتا (A β) و

در شرایط بیماری‌زا مانند جهش، استرس، تب و افزایش سن؛ پروتئین‌های از اشکال طبیعی خود خارج شده و در شکل پلاک‌ها (فیبریل‌های) آمیلوئیدی تجمع می‌یابند. این اشکال نامحلول پروتئینی که غنی از ساختارهای ثانویه صفحات بتا هستند با تجمع در اندام‌های مختلف مانند مغز، روده، کلیه و غیره موجب بیماری‌های آرایمیر، آتاکسی مغزی-نخاعی، آنسفالوپاتی اسفنجدی و آرایمیر، آتاکسی مغزی-نخاعی، آنسفالوپاتی اسفنجدی و غیره می‌شوند (۱۴ و ۱۹).

برای پیشگیری یا درمان بیماری‌های آمیلوئیدی رویکردهای

فنولی و آنتی اکسیدانی موجود در قسمت‌های مختلف درخت بلوط بر کاهش علائم مربوط به اختلالات عصبی، آزرايمر و دیابت موثر است (۲۵ و ۱۵).

با توجه به جنبه‌های بالينی جفت بلوط و نظر بحضور مقادیر بالاي فنولها و فلاونوئيدها در گياهان، در اين مطالعه عصاره هيدروالكلی جفت بلوط بمنظور بررسی اثرات احتمالي آن بر درمان بيماري‌های وابسته به آميلوئيد مورد بررسی قرار گرفت و ليزوسيم سفیده تخمرغ (HEWL: Hen egg-white lysozyme) بعنوان پروتئين مدل استفاده شد.

مواد و روشها

مواد: ليزوسيم سفیده تخمرغ (HEWL)، تيوفالاوين T (THT:Thioflavin T)، آنيلينو فنتالن-۸-سولفونيك اسيد (ANS: Anilinonaphthalene-8-sulfonic acid) کنگو (CR: Congo red)، کاتجين و گاليك اسيد از شركت سیگما؛ گلیسين، سدیم فسفات منوبازیک دی هیدرات (NaH₂PO₄*H₂O)، سدیم فسفات دی بازيک دی هیدرات (Na₂HPO₄*2H₂O)، سدیم آزید (NaN₃)، سدیم كلراید (NaCl)، آلومینیوم كلراید (AlCl₃)، فولین سیوکالتیو (HCl)، اسيد هيدروكلريک (FCR: Folin-Ciocalteu)، سدیم نیتریت (NaNO₂) و سدیم هيدروکسید (NaOH) از شركت مرک؛ الكل اتيليك طبی ۹۶ درصد حجمی از شركت الكل نصر

تجهيزات: دستگاه اسپکتروفلوريمتری (Fluorescence Spectrophotometer Cary-Eclipse) مدل FE-Agilent، دستگاه ميكروسكوب الکترونی رویشي مدل Field-emission Scanning Electron (SEM) مدل TESCAN کشور چك، دستگاه بن ماري سرولوژي مدل WB ساخت شركت ايراني دی تجهيز آريا، دستگاه ميكروپليت ريدر مدل Epoch ساخت شركت بيوتك (BioTek)، بي اچ متر

ايمونوتراپي مبتنی بر آنتي‌بادي (۱۷) اشاره نمود.

مهارکننده‌های مولکولي کوچک عامل‌های بالقوه برای درمان مکانيسم‌های پايه اين بيماري‌ها هستند که بر مسیرهای مختلف تشکيل فيبريل‌های آميلوئيدی تاثير می‌گذارند (۲۰). گروهی از ترکيبات مولکولي کوچک، پلي-فنولها و فلاونوئيدها هستند که در غلظت‌های بالا در گياهان وجود دارند. فلیل‌ها عمدتاً نه تنها دارای اثرات ضد آميلوئيدوزنیکاند، بلکه اثرات بی ثبات‌کننده‌ای بر فيبريل‌های آميلوئيد (تبديل فيبريل به تجمعات بی‌شكل) دارند. مکانيسم بی ثبات نمودن فيبريل‌ها احتمالاً متفاوت از مکانيسم مهار تشکيل آميلوئيد است (۱۱، ۱۸ و ۲۳).

امروزه علاقه زیادی به استفاده از داروهای طبیعی و گياهان دارویی بعلت داشتن کمترین عوارض جانبی و تحمل بیشتر در مقایسه با داروهای مصنوعی، وجود دارد. از سوی ديگر همانطور که اشاره شد گياهان دارای مقادير بالايی از فنولها و فلاونوئيدها هستند. از اينtro در مطالعات بسیاری تاثير گياهان دارویی بر درمان بيماري‌های وابسته به آميلوئيد مورد بررسی قرار گرفته است که از جمله آنها می‌توان به بررسی اثر عصاره گياهان *Cassia tora Linn*، *Ginkgo biloba*، *Withania somnifera* پلي فنولهای موجود در چای سبز اشاره نمود (۲۲، ۱۳، ۲۶).

درخت بلوط (*Quercus*) از اعضای خانواده راش (Fagaceae) است (۲۵). يکی از گونه‌های درخت بلوط گونه *Quercus brantii* (بلوط فارسي يا بلوط زاگرس) می‌باشد که درختی با ارتفاع تقریبی ۲۰ متر دارای یک تاج بزرگ کروی است. برگ‌های اين درخت تخمرغی شکل با حاشیه‌های دندانی اند. میوه آن بیضوی کشیده است که در کاسه سفید مخروطی شکل قرار دارد (۳۱).

پوسته میوه بلوط ايراني (جفت) بعنوان داروهای ضد اسهال در طب سنتی مورد استفاده قرار می‌گيرند. عصاره جفت دارای اثر ضد باكتري و بهبود زخم است. ترکيبات

ساخت شرکت WinLab

تهیه عصاره گیاهی: دانه بلوط فارسی از پارک جنگلی شورآب واقع در کوهپایه‌های زاگرس شهرستان خرم‌آباد در استان لرستان جمع‌آوری شد. دانه بلوط در سایه خشک و سپس جفت آن جدا شد. عصاره هیدروالکلی جفت طی ۴ مرحله (در دو مرحله اول با اتانول ۸۰ درصد و در دو مرحله دوم با اتانول ۷۰ درصد) استخراج گردید. عصاره حاصل بوسیله دستگاه روتاری تغليظ و در دمای ۴۰ درجه سانتی‌گراد در آون خشک شد.

تهیه نمونه‌ها: برای مطالعه اثر عصاره بر روند شکل‌گیری فیبریل‌های آمیلوئیدی، HEWL با استفاده از بافر گلیسین ۵۰ میلی‌مolar (pH 2.2) در غلظت ۱۴ میلی‌گرم بر میلی‌لیتر تهیه شد. سپس میکروتیوب‌های حاوی محلول پروتئین در غیاب و حضور عصاره (نسبت‌های ۱/۰/۵، ۲/۰/۵) عصاره تام به ۱ پروتئین در داخل حمام آب-بدون همزده شدن محلول-در دمای ۶۰ درجه سانتی‌گراد بمدت ۱۵ روز انکوبه گردید. جهت مطالعه اثر عصاره بر روند تجمع‌زدایی آمیلوئیدی؛ نمونه فیبریله شده در روز پانزدهم، در غیاب و حضور عصاره (نسبت‌های ۱/۰/۵، ۲/۰/۵) عصاره تام به ۱ پروتئین در دمای ۳۷ درجه سانتی‌گراد بمدت سه روز انکوبه شد.^(۷).

روشهای مطالعه فیبریل‌های آمیلوئیدی

آزمون اتصال قرمز کنگو (CR): ابتدا استوک غلیظ CR بوسیله بافر فسفات ۱۰ میلی‌مolar (۰/۱۵ NaCl، ۰/۰/۵ NaN₃) درصد، pH ۷/۴ مخلوط نمونه پروتئین به ۲۰۰ ماکرولیتر از محلول کاری CR (۲۰ ماکرومolar) افروده و کاملاً مخلوط شد. محلول حاصل بمدت ۳۰ دقیقه در دمای اتاق و در تاریکی انکوبه شد. سپس شدت جذب در طول موج ۴۰۰-۷۰۰ نانومتر اندازه‌گیری شد.^(۲۴).

تست فلورسانس تیوفلاوین T (THT): ابتدا استوک غلیظ THT بوسیله بافر فسفات ۱۰ میلی‌مolar (۰/۱۵ NaCl، ۰/۰/۲ NaN₃) درصد، pH ۷ مخلوط شد. سپس ۱۵ ماکرولیتر از نمونه پروتئین به ۲۹۸۵ ماکرولیتر از محلول کاری THT (۱۵ ماکرومolar) افزوده و کاملاً

تعیین محتوای فنولی عصاره‌ی جفت: محتوای فنولی عصاره با استفاده از معرف فولین سیوکالتیو (FCR) مورد تجزیه و تحلیل قرار گرفت.^(۲۷) غلظت ۱۰ تا ۱۰۰ میکروگرم در میلی‌لیتر گالیک‌اسید برای طراحی منحنی استاندارد استفاده شد. برای این‌منظور، ۰/۵ میلی‌لیتر از عصاره با ۲/۵ میلی‌لیتر FCR (رقیق شده به نسبت ۱:۱۰) و سپس با ۲ میلی‌لیتر کربنات سدیم (۷/۵ درصد) مخلوط شد. مخلوط نهایی بمدت ۹۰ دقیقه در دمای اتاق، در تاریکی انکوبه گردید. جذب نمونه‌ها در ۷۶۵ نانومتر، با استفاده از میکروپلیت ریدر خوانده شد. این روش همزمان برای غلظت‌های مختلف گالیک‌اسید انجام و نتایج بر حسب میلی‌گرم گالیک اسید در هر گرم وزن خشک عصاره بیان شد.

تعیین محتوای فلاونوئیدی عصاره‌ی جفت: محتوای فلاونوئیدی عصاره با استفاده از معرف آلومینیوم کلراید مورد تجزیه و تحلیل قرار گرفت.^(۳۴) غلظت ۱۰ تا ۱۰۰ میکروگرم در میلی‌لیتر کاتچین برای طراحی منحنی استاندارد مورد استفاده قرار گرفت. برای این‌منظور، ۰/۵ میلی‌لیتر از عصاره با ۲ میلی‌لیتر آب‌مقطّر و سپس با ۰/۱۵ میلی‌لیتر محلول NaNO₂ (۱۵ درصد) مخلوط شد. پس از ۶ دقیقه، ۰/۱۵ میلی‌لیتر محلول AlCl₃ (۱۰ درصد) اضافه شد. بعد از ۶ دقیقه، ۲ میلی‌لیتر محلول NaOH (۴ درصد) اضافه و سپس بلافضلله ۲۰۰ میکرولیتر آب‌مقطّر اضافه

بررسی مورفولوژی ساختاری با استفاده از میکروسکوپ الکترونی روبشی (FE-SEM): پنج میکرولیتر از هر نمونه رقیق شده (بوسیله آب مقطر به میزان ۷۰ برابر) بر روی فویل آلومنیومی قرارداده شد. نمونه‌ها پس از خشک شدن در مجاورت هوا بوسیله لایه‌ای از طلا پوشانده شد و در ولتاژ ۱۵Kev با بزرگنمایی ۹۰kx توسط میکروسکوپ الکترونی روبشی اسکن شدند.

نتایج

محتوی فنولی و فلاونوئیدی عصاره‌ی جفت بلوط: میزان محتوی فنولی و فلاونوئیدی عصاره‌ی هیدروالکلی جفت بلوط در جدول شماره ۱ نشان داده شده است.

مخلوط شد. شدت فلورسانس با اسپکتروفلورسانس در ۴۴۰ و ۶۰۰-۴۶۰ emission در ۱۰ و ۵ شکاف (bertiep برای excitation و emission) اندازه‌گیری شد (۲۴).

تست فلورسانس آیلینو نفتالن -۸ - سولفونیک اسید (ANS): ابتدا استوک غلیظ ANS بوسیله بافر فسفات ۱۰ میلی مolar ($15\text{ NaCl}/0.02\text{ NaN}_3$) درصد، ۷ pH تهیه شد. سپس ۱۵ ماکرولیتر از نمونه پروتئین به ۳۰۰ میکرولیتر از محلول کاری ANS (۲۰ ماکرومolar) و ۲۶۸۵ میکرولیتر از بافر گلیسین افزوده و کاملاً مخلوط شد. شدت فلورسانس با اسپکتروفلورسانس در ۳۸۰ و ۶۰۰-۴۲۰ emission در ۵ شکاف برای excitation و ۴۰۰-۴۲۰ emission برای excitation اندازه‌گیری شد (۹).

جدول ۱- محتوی فنولی و فلاونوئیدی عصاره‌ی هیدروالکلی جفت بلوط

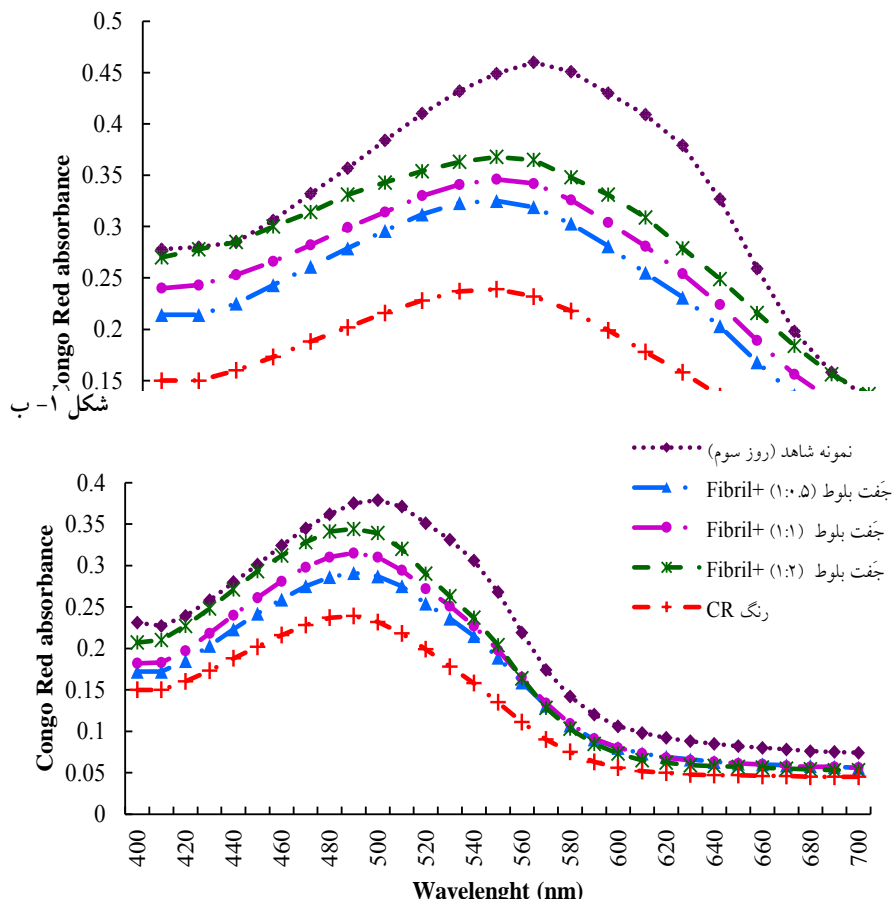
نمونه	محتوی فنولی*	محتوی فلاونوئیدی*
جفت بلوط	$1/57 \pm 454/44$	$4/22 \pm 271/88$
n=۳	آزمایشات در سه کنترل انجام و نتایج میانگین سه آزمایش مستقل SD است.	

همانطور که در شکل ۱-الف مشاهده می‌شود؛ طیف جذب نوری قرمز کنگوی HEWL ۱۵ روز پس از انکوباسیون در دمای ۶۰ درجه سانتی‌گراد افزایش می‌یابد و ماکریم جذب نوری آن از ۴۹۰ به ۵۰۰ نانومتر شیف پیدا می‌کند. این تغییرات بیانگر فیبریله شدن پروتئین لیزوژیم تحت شرایط اسیدی و حرارت بالاست. در نمونه‌هایی که محلول پروتئین حاوی غلظت‌های مختلفی از عصاره جفت بلوط است؛ شرایط اسیدی و حرارت بالا صرفاً منجر به افزایش انداک در شدت جذب نوری قرمز کنگو می‌شود و تغییر در شانه طیف و شیفت به طول موج‌های بالاتر مشاهده نمی‌شود. لذا می‌توان نتیجه گرفت که عصاره جفت بلوط از فیبریله شدن HEWL ممانعت می‌کند و مانع از تکمیل شدن فرآیند شکل‌گیری تجمعات آمیلوئیدی پروتئین می‌شود.

مقدار کل ترکیبات فنولی بر اساس میلی‌گرم گالیک اسید در هر گرم وزن خشک عصاره بیان شد. مقدار کل ترکیبات فلاونوئیدی بر اساس میلی‌گرم کاتچین در هر گرم وزن خشک عصاره بیان شد.

آزمون اتصال قرمز کنگو (CR): فیبریله‌ای آمیلوئیدی دارای جایگاه‌های اتصال جهت مولکول CR هستند. این جایگاه‌ها واقع در سطح صفحات بتای فیبریله‌ای آمیلوئیدی است. وقتی CR به فیبریله‌ای آمیلوئیدی متصل می‌شود؛ افزایش ماکریم جذب در طیف CR مشاهده می‌شود و ماکریم جذب نوری آن از ۴۹۰ به ۵۰۰ نانومتر شیف (red shift) پیدا می‌کند (۲۱). در شکل ۱ با استفاده از آزمون اتصال قرمز کنگو؛ تاثیر عصاره جفت بلوط بر روند شکل‌گیری تجمعات آمیلوئیدی و تجمع‌زدایی فیبرهای HEWL به تصویر کشیده شده است.

شکل ۱- الف



شکل ۱- آزمون اتصال قرمز کنگو در غیاب و حضور غلظت‌های مختلف عصاره‌ای تاثیر عصاره (الف) بر روند شکل‌گیری تجمعات آمیلوپیدی HEWL. ۱۵ روز پس از انکوباسیون نمونه‌های پروتئین در دمای ۶۰ درجه سانتی‌گراد (ب) بر روند تجمع‌زدایی فیبرهای HEWL سه روز پس از انکوباسیون فیبریل‌ها در دمای ۳۷ درجه سانتی‌گراد

نشانگر وجود مقادیر بالای فیبرهای آمیلوپیدی در نمونه کنترل است. تحت این شرایط، ماکریتم جذب نوری نمونه‌های انکوبه شده در حضور غلظت‌های مختلف عصاره جفت بلوط از ۵۰۰ به ۴۹۰ نانومتر شیف (shift) پیدا می‌کند. این تغییرات بیانگر اثر این عصاره بر تسریع روند تجمع‌زدایی فیبرهای پروتئین است. بیشترین میزان تاثیر عصاره بر برجسته‌پذیری فیبرهای آمیلوپیدی در نسبت ۱:۰/۵ عصاره به فیبر است. با افزایش غلظت عصاره، تاثیر آن بر روند فیبریل‌زدایی کاهش می‌یابد.

فلوئورسانس THT: فیبریل‌های آمیلوپیدی دارای

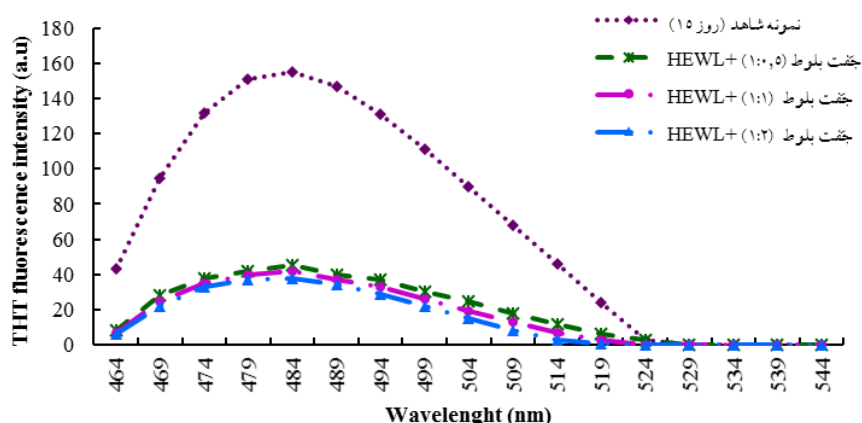
در مقایسه اثرگذاری غلظت‌های مختلف عصاره، با افزایش غلظت میزان مهار روند شکل‌گیری فیبرهای آمیلوپیدی افزایش می‌یابد. بنابراین بهترین غلظت تاثیرگذار عصاره در نسبت ۲:۱ عصاره به پروتئین حاصل می‌شود.

همانطور که در شکل ۱- ب مشاهده می‌شود؛ تحت شرایط برگشت‌پذیری روند شکل‌گیری تجمعات آمیلوپیدی (سه روز پس از انکوباسیون در دمای ۳۷ درجه سانتی‌گراد)، شدت طیف جذب نوری قرمز کنگوی فیبریل‌های از پیش شکل گرفته لیزوژیم کاهش می‌یابد اما ماکریتم طیف جذب همچنان در ناحیه ۵۰۰ نانومتر قرار دارد که

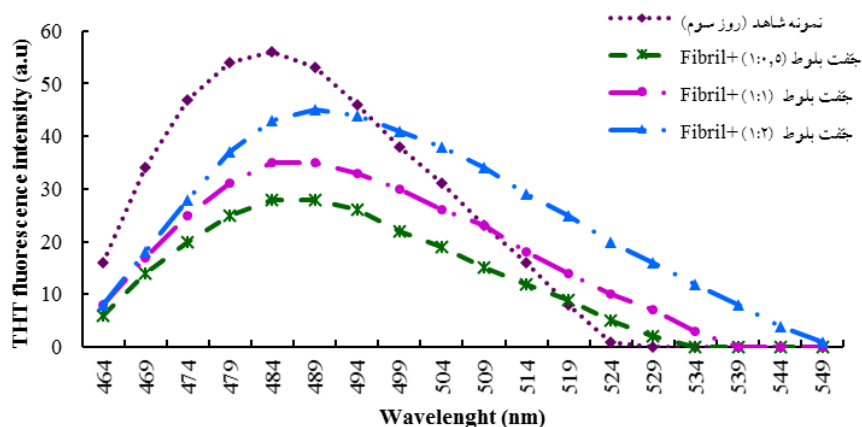
فلوئورسانس THT افزایش می‌باید (۲۴). در شکل ۲ با استفاده از تست فلوئورسانس THT؛ تاثیر عصاره جفت بلוט بر روند شکل‌گیری تجمعات آمیلوپیدی و تجمع دایی فیبرهای HEWL به تصویر کشیده شده است.

جایگاه‌های اتصال جهت پرورب فلورستن THT هستند. این جایگاه‌ها واقع در کanal بین صفحات بتای فیبریل‌های آمیلوپیدی است. زمانی که این ترکیب به ساختار صفحات بتای موجود در فیبرهای آمیلوپید متصل می‌شود؛ شدت

شکل ۲- الف



شکل ۲- ب



شکل ۲- اندازه‌گیری شدت فلوئورسانس THT در غیاب و حضور غلاظت‌های مختلف عصاره جفت بلוט جهت ارزیابی تاثیر عصاره (الف) بر روند شکل‌گیری تجمعات آمیلوپیدی HEWL، ۱۵ روز پس از انکوباسیون نمونه‌های پروتئین در دمای ۶۰ درجه سانتی‌گراد (ب) بر روند تجمع زدایی فیبرهای HEWL، سه روز پس از انکوباسیون فیبریل‌ها در دمای ۳۷ درجه سانتی‌گراد

غلاظت‌های مورد آزمایش عصاره) افزایش در شدت فلوئورسانس THT نسبت به پروتئین شاهد ناچیز است که بیانگر اثر مهاری عصاره گیاه بر روند شکل‌گیری تجمعات آمیلوپیدی HEWL است. همانطور که مشاهده می‌شود؛ با افزایش غلاظت عصاره میزان افزایش فلورسانس کاهش

همانطور که در شکل ۲- الف مشاهده می‌شود؛ شدت فلوئورسانس THT پانزده روز پس از انکوباسیون HEWL در دمای ۶۰ درجه سانتی‌گراد افزایش می‌باید. این افزایش بیانگر شکل‌گیری فیبریل‌های آمیلوپید در نمونه انکوبه شده است. در نمونه‌های حاوی عصاره جفت بلוט (در تمامی

گیری فیبریل‌های آمیلوئید در نمونه انکوبه شده است. در نمونه‌های حاوی عصاره جفت بلوط (در تمامی غلظت‌های مورد آزمایش عصاره) افزایش در شدت فلورسانس ANS نسبت به پروتئین شاهد ناچیز است که بیانگر اثر مهاری عصاره گیاه بر در معرض سطح قرارگیری سطوح هیدروفوب پروتئین و در نتیجه مهار شکل‌گیری تجمعات آمیلوئیدی HEWL است. با افزایش غلظت عصاره، میزان هیدروفوبیسیته سطحی پروتئین کاهش می‌یابد. بطوریکه در نسبت ۲:۱ عصاره به پروتئین HEWL دارای کمترین هیدروفوبیسیته سطحی است. در اینجا نیز اختلاف بین اثر مهاری غلظت‌های مختلف عصاره بسیار کم است که این اختلاف اندک می‌تواند بدلیل اشباح شدن جایگاه اتصال عوامل موثر عصاره بر روی پروتئین باشد.

در شکل ۳-ب شدت فلورسانس ANS نمونه فیبریل‌های از پیش شکل گرفته HEWL سه روز پس از انکوباسیون در دمای ۳۷ درجه سانتی‌گراد از حدود ۱۸۰ در شکل ۳-الف به حدود ۷۰ a.u در شکل ۳-ب کاهش می‌یابد. این تغییرات بیانگر تاثیر دمای پایین بر شروع روند برگشت‌پذیری فیبریل‌هاست. در حضور عصاره جفت بلوط (در تمامی غلظت‌های مورد آزمایش) کاهش بیشتری نسبت به شدت فلورسانس THT می‌شود که بیانگر تاثیر عصاره گیاه بر تسريع روند تجمع‌زادی فیبرهای است. در این خصوص نیز بیشترین میزان مشاهده می‌شود که بیانگر تاثیر دمای پایین بر عصاره؛ تاثیر آن بر روند فیبریل‌زادی کاهش می‌یابد.

تصاویر میکروسکوپی (FE-SEM): فیبریل‌های آمیلوئیدی بدون توجه به پروتئین منع آنها دارای مورفولوژی ساختاری رشتہ مانند هستند (۳۰). میکروسکوپ الکترونی روبشی (FE-SEM) یک وسیله بسیار عالی برای مشاهده مورفولوژی ساختاری پروتئین‌ها است.

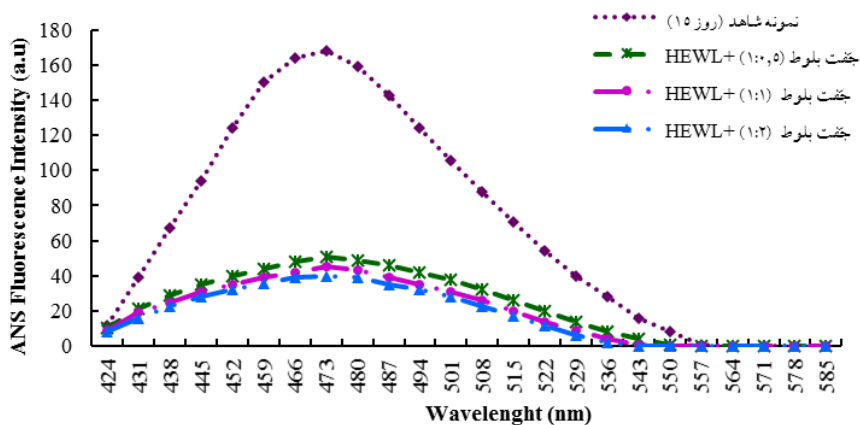
می‌یابد. این کاهش بیانگر کاهش در میزان شکل‌گیری فیبرهای آمیلوئیدی است. اما اختلاف بین اثر مهاری غلظت‌های مختلف عصاره بسیار کم است که این اختلاف اندک می‌تواند بدلیل اشباح شدن جایگاه اتصال عوامل موثر عصاره بر روی پروتئین باشد.

در شکل ۲-ب روند تجمع‌زادی فیبرهای لیزوژیم به تصویر کشیده شده است. شدت فلورسانس THT نمونه فیبریل‌های از پیش شکل گرفته لیزوژیم سه روز پس از انکوباسیون در دمای ۳۷ درجه سانتی‌گراد از حدود ۱۶۰ در شکل ۲-الف به کمتر از ۶۰ a.u در شکل ۲-ب می‌رسد. این تغییرات بیانگر تاثیر دمای پایین بر شروع روند برگشت‌پذیری فیبریل‌هاست. در حضور عصاره جفت بلوط (در تمامی غلظت‌های مورد آزمایش) کاهش بیشتری در شدت فلورسانس THT نسبت به نمونه شاهد مشاهده می‌شود که بیانگر تاثیر عصاره گیاه بر تسريع روند تجمع‌زادی فیبرهای است. در این خصوص نیز بیشترین میزان مشاهده می‌شود که بیانگر تاثیر دمای پایین بر عصاره؛ تاثیر آن بر روند فیبریل‌زادی کاهش می‌یابد.

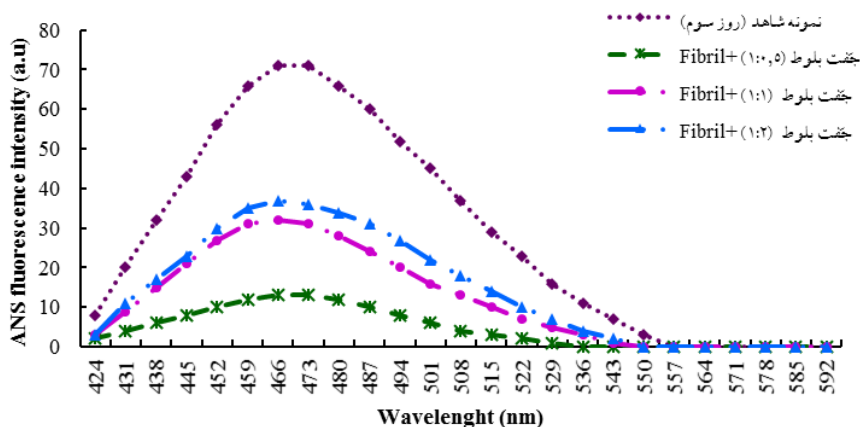
فلورسانس ANS: نواحی هیدروفوب در معرض حلال فیبریل‌های آمیلوئیدی جایگاه‌های اتصال جهت پروب فلورسنت ANS هستند. زمانی که این ترکیب به ساختار صفحات بتای موجود در فیبرهای آمیلوئید متصل می‌شود؛ شدت فلورسانس آن افزایش می‌یابد (۱۲). در شکل ۳ با استفاده از تست فلورسانس ANS؛ تاثیر عصاره جفت بلوط بر هیدروفوبیسیته سطحی طی روند شکل‌گیری تجمعات آمیلوئیدی و تجمع‌زادی فیبرهای HEWL به تصویر کشیده شده است.

همانطور که در شکل ۳-الف مشاهده می‌شود؛ شدت فلورسانس ANS پانزده روز پس از انکوباسیون HEWL در دمای ۶۰ درجه سانتی‌گراد افزایش می‌یابد. این افزایش بیانگر افزایش هیدروفوبیسیته سطحی HEWL و شکل-

شکل ۳- الف



شکل ۳- ب



شکل ۳- اندازه‌گیری شدت فلورسانس ANS در غیاب و حضور غلاظت‌های مختلف عصاره جفت بلوط به تاثیر عصاره الف) بر روند شکل‌گیری تجمعات آمیلوپیدی HEWL ۱۵ روز پس از انکوباسیون نمونه‌های پروتئین در دمای ۶۰ درجه سانتی‌گراد (ب) بر روند تجمع‌زادایی فیبریل‌های HEWL، سه روز پس از انکوباسیون فیبریل‌ها در دمای ۳۷ درجه سانتی‌گراد

در شکل ۴ با استفاده از میکروسکوپ FE-SEM پروتئین در دمای ۶۰ درجه سانتی‌گراد) و همچنین مورفولوژی ساختاری فیبریل‌های لیزوزیم (سه روز پس از انکوباسیون فیبریل‌ها در دمای ۳۷ درجه سانتی‌گراد) دارای ساختار رشتہ‌ای و فیبریلی است. در حضور عصاره جفت بلوط، پروتئین لیزوزیم در شرایط انکوباسیون در شرایط اسیدی و دمای ۶۰ درجه سانتی‌گراد-علیرغم تغییر شکل از حالت کروی- به سمت شکل‌گیری ساختارهای فیبریلی و خطی سوچ داده نمی‌شود. این تصویر بیانگر تاثیر مهاری عصاره جفت بلوط بر شکل‌گیری فیبرهای آمیلوپید است

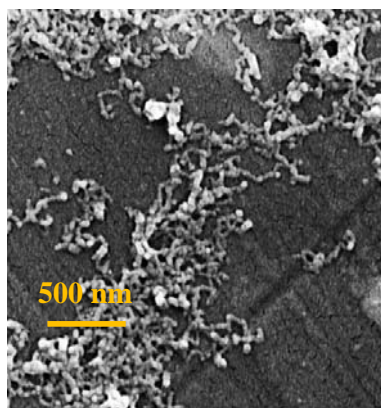
در شکل ۴ با استفاده از میکروسکوپ FE-SEM عصاره جفت بلوط (در نسبت ۱:۵ عصاره به پروتئین) بر مورفولوژی ساختاری پروتئین طی روند شکل‌گیری تجمعات آمیلوپیدی و تجمع‌زادایی فیبرها به تصویر کشیده شده است.

پروتئین لیزوزیم در حالت نرمال فیزیولوژیکی دارای ساختار کروی است. همان‌طور که در شکل ۴- الف ملاحظه می‌شود در غیاب عصاره جفت بلوط، مورفولوژی ساختاری لیزوزیم (۱۵ روز پس از انکوباسیون نمونه‌های

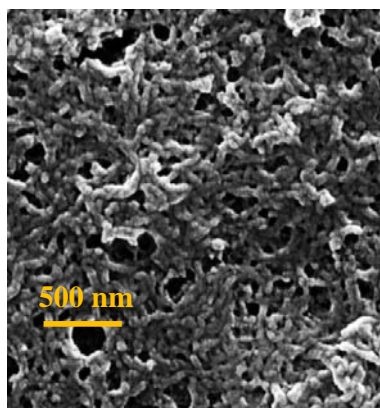
بیانگر تاثیر این عصاره بر تغییر شکل و تجمع‌زدایی فیبرهای آمیلوئیدی است.

(شکل ۴- ب). همچنین در شکل ۴- ج مشاهده می‌شود که فیبریل‌های از پیش تشکیل شده لیزوزیم در حضور عصاره جفت بلوط از حالت رشتهدی خارج شده‌اند که

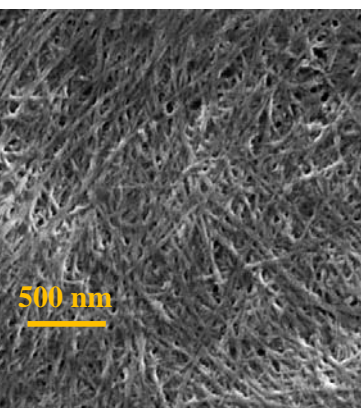
شکل ۴- ج



شکل ۴- ب



شکل ۴- الف



شکل ۴- تصاویر میکروسکوپ FE-SEM در غیاب و حضور غلظت‌های مختلف عصاره جفت بلوط، اندازه‌گیری در نوار مقیاس ۵۰۰ nm
 الف) مورفولوژی ساختاری لیزوزیم (۱۵ روز پس از انکوباسیون نمونه‌های پروتئین در دمای ۶۰ درجه سانتی‌گراد) و فیبریل‌های لیزوزیم (سه روز پس از انکوباسیون فیبریل‌ها در دمای ۳۷ درجه سانتی‌گراد) در غیاب عصاره جفت بلوط (تصاویر میکروسکوپی هر دو نمونه یکسان است، ب)
 مورفولوژی ساختاری HEWL در حضور عصاره جفت بلوط (۱۵ روز پس از انکوباسیون نمونه‌های پروتئین در دمای ۶۰ درجه سانتی‌گراد، ج)
 مورفولوژی ساختاری تجمعات آمیلوئیدی HEWL در حضور عصاره جفت بلوط (سه روز پس از انکوباسیون فیبریل‌ها در دمای ۳۷ درجه سانتی‌گراد)

جانبی اسیدهای آمینه در پروتئین‌های مختلف شوند. در نتیجه فرآیند شکل‌گیری فیبریل‌های آمیلوئیدی و همچنین استحکام ساختاری فیبریل‌ها مختلف می‌گردد (۱۰). مکانیسم اثر این ترکیبات بر روند شکل‌گیری فیبرهای آمیلوئیدی متفاوت از مکانیسم اثر آن‌ها بر از بین بردن تجمعات از پیش شکل گرفته شده است (۹ و ۱۰). از آنجایی که عصاره جفت بلوط حاوی مقادیر بالایی از این ترکیبات حلقوی است؛ این عصاره بمنظور بررسی اثرات احتمالی بر شکل‌گیری تجمعات آمیلوئیدی و فیبریل‌زدایی آمیلوئید مورد بررسی قرار گرفت. همانطور که از نتیجه آزمایشات مشاهده گردید؛ عصاره جفت بلوط در تمامی نسبت‌های مورد آزمایش دارای اثر مهاری وابسته به دوز بر شکل‌گیری تجمعات آمیلوئیدی پروتئین است. همچنین این عصاره موجب تسریع فرآیند تجمع‌زدایی فیبرها می‌شود. بیشترین

بحث و نتیجه‌گیری

عصاره‌های گیاهی به دلیل داشتن مقادیر بالایی از ترکیبات معدنی و فنولی و اثر احتمالی این ترکیبات بر پیشگیری و درمان بیماری‌های مختلف توسط محققان مختلف مورد بررسی قرار گرفته‌اند (۴ و ۵). ترکیب شیمیایی میوه و جفت بلوط شامل مقدار زیادی کربوهیدرات، مقدار متوسطی پروتئین و چربی، و مقدار قابل توجهی از مواد معدنی است (۱) همچنین همانطور که در جدول ۱ نشان داده شد جفت بلوط حاوی مقادیر بالایی از ترکیبات حلقوی فنولی و فلاونوئیدی است. ترکیبات مولکولی حاوی حلقه‌های آروماتیک می‌توانند با آمینواسیدهای آروماتیک موجود در پروتئین‌ها برهمکنش نموده و مانع برقراری برهمکنش‌های هیدروفوب و استکینگ زنجیره‌های

بطوریکه در نسبت ۱:۰/۵ (عصاره برگ چای سبز به HEWL)، این عصاره موجب مهار کامل فرآیند شکل‌گیری تجمعات آمیلوپیدی می‌شود. رامشینی و همکاران (۳) اثر مهاری عصاره برگ چای سبز را مربوط به حضور مقادیر بالایی از پلی فنول‌ها و ترکیبات حلقوی و ایجاد پیوندهای استکینگ این ترکیبات با اسیدهای آمینه حلقوی موجود در ساختار HEWL می‌دانند.

اثر مهاری سیلیمارین (عصاره حاصل از دانه گیاه خار مریم (*Silybum Marianum*)) بر فرایند شکل‌گیری تجمعات آمیلوپیدی HEWL بررسی و مشاهده شد که سیلیمارین باعث مهار تشکیل تجمعات آمیلوپیدی می‌شود (۶). سیلیمارین نیز همانند عصاره جفت بلוט دارای اثر مهاری وابسته به غلظت بر روند شکل‌گیری تجمعات آمیلوپیدی پروتئین لیزوژیم است اما دارای اثر مهاری کمتری از اثر عصاره جفت بلוט است. سیلیمارین همانند عصاره جفت بلוט موجب شکل‌گیری تجمعات بی‌شکل می‌شود. مهدوی مهر و همکاران (۶) اثر مهاری سیلیمارین را وابسته به وجود ترکیبات فلاونولیگنانی و فلاونوپیدی می‌دانند که با ایجاد برهمکنش‌های آروماتیک و آبگریز با زنجیره‌های جانبی پروتئین مانع در معرض سطح قرار گرفتن سطوح هیدروفوب پروتئین و برقراری برهمکنش‌های بین زنجیره‌های جانبی آنها و تشکیل تجمعات آمیلوپیدی می‌شوند.

از مقایسه نتایج حاصل از این آزمایش با نتایج حاصل از مطالعات ذکر شده می‌توان نتیجه گرفت که حضور مقادیر بالای فنول و فلاونوپید در عصاره جفت بلוט منجر به مهار فیبریل‌زایی و تسريع فیبریل‌زایی پروتئین می‌شود. نکته قابل تأمل در این آزمایش در خصوص بیشترین اثر عصاره بر روند تجمع‌زدایی آمیلوپیدی است که در نسبت ۱:۰/۵ عصاره به فیبریل مشاهده می‌شود و با افزایش غلظت عصاره میزان تاثیرگذاری کاهش می‌یابد. با افزایش غلظت عصاره، میزان حلالیت آن در محلول حاوی پروتئین در دمای ۳۷ درجه کاهش یافت. احتمالاً این کاهش

اثر عصاره بر روند تجمع‌زدایی فیبرها در نسبت ۱:۰/۵ عصاره به فیبریل مشاهده می‌شود.

مطالعات بسیاری برای بررسی اثر عصاره‌ها و ترکیبات گیاهی بر فرآیندهای شکل‌گیری و حذف فیبریل‌های آمیلوپیدی انجام شده است. بعنوان مثال رامشینی و همکاران (۲) مشاهده کردند که عصاره برگ گیاه مرزه (*Satureia hortensis L.*) موجب مهار شکل‌گیری تجمعات آمیلوپیدی HEWL و تشکیل فیبرهای آمیلوپیدی می‌شود. عصاره جفت بلוט همانند عصاره برگ گیاه مرزه از شکل‌گیری فیبرهای آمیلوپید جلوگیری می‌نماید. روند مهاری عصاره جفت بلוט منجر به کاهش طول فیبریل‌ها و سوق‌دهی آنها به سمت تجمعات بی‌شکل می‌شود. در حالی که در حضور عصاره برگ گیاه مرزه بجای شکل‌گیری فیبریل‌های بالغ اولیگومرهای کوچک غیرسمی تشکیل می‌شوند. این تفاوت بدلیل تاثیر عصاره این دو گیاه بر مراحل مختلف شکل‌گیری تجمعات آمیلوپیدی پروتئین است. عصاره برگ گیاه مرزه بر کلیه مراحل شکل‌گیری تجمعات آمیلوپیدی اثر مهاری دارد در حالی که عصاره جفت بلוט بر بازشدن پروتئین در مراحل اولیه شکل‌گیری تجمعات آمیلوپیدی تاثیری ندارد. رامشینی و همکاران (۲) اثر عصاره برگ گیاه مرزه بر مهار شکل‌گیری تجمعات آمیلوپیدی HEWL را مربوط به حضور مقادیر بالایی از پلی فنول‌ها و ترکیبات حلقوی بر می‌شمارند.

در مطالعه دیگر اثر عصاره برگ چای سبز بر روند شکل‌گیری تجمعات آمیلوپیدی HEWL مورد بررسی قرار گرفت و مشاهده شد که عصاره این گیاه بر روند شکل‌گیری تجمعات آمیلوپیدی پروتئین دارای اثر مهاری است (۳). اثر مهاری عصاره برگ چای سبز بر روند شکل‌گیری تجمعات آمیلوپیدی پروتئین لیزوژیم نیز همانند عصاره جفت بلוט وابسته به دوز است. عصاره برگ چای سبز نسبت به عصاره جفت بلוט دارای اثر مهاری قوی‌تر بر روند شکل‌گیری تجمعات آمیلوپیدی HEWL است

جلوگیری از شکل‌گیری فیبرهای آمیلوئید و همچنین حذف فیبرهای از پیش تشکیل شده لیزوژیم است. بررسی‌های بیشتری برای یافتن این ترکیبات موثر جهت ساخت داروهای مورد نیاز در درمان بیماری‌های وابسته به آمیلوئید نیاز است.

حالیت منجر به کاهش میزان ترکیبات موثره عصاره (ترکیبات فنولی و فلاونوئیدی) و در نتیجه کاهش تاثیرگذاری آن بر تسريع روند تجمع‌زادایی فیبرها باشد.

از داده‌های حاصل از این آزمایش‌ها می‌توان نتیجه گرفت که عصاره جفت بلوط حاوی ترکیباتی است که قادر به

منابع

- ۱- ایرانمنش، ی.، جهانبازی گوجانی، ح. (۱۳۹۶). تعیین ویژگی‌های تغذیه‌ای روغن استخراج شده از میوه بلوط ایرانی. *مجله علوم غذایی و تغذیه*, ۱۵(۱)، ۶۲-۶۵.
- ۲- رامشینی، ح.، کوثری، ن.، مقدسی، ا. (۱۳۹۵). فعالیت ضد آمیلوئیدی عصاره برگ گیاه مرزه (*Satureia hortensis L.*). روی فیبری شدن لیزوژیم و تاثیر احتمالی آن در درمان بیماری‌های وابسته به آمیلوئید. *مجله تحقیقات گیاهان دارویی و معطر ایران*, ۵(۳۲)، ۸۴۴-۸۵۶.
- ۳- رامشینی، ح. (۱۳۹۳). اثر عصاره چای سبز (*Camellia Sinensis*) بر روی تشکیل فیبرهای آمیلوئیدی لیزوژیم سفیده تخم مرغ و مطالعه مکانیسم احتمالی آن در پیشگیری از بیماری آزارایم. *مجله دانشگاه علوم پزشکی و خدمات بهداشتی درمانی زابل*, ۶(۴)، ۷۸-۸۹.
- 7- Arnaudov, L. N., & de Vries, R. (2005). Thermally induced fibrillar aggregation of hen egg white lysozyme. *Biophysical Journal*, 88(1), 515-526. doi: <https://doi.org/10.1529/biophysj.104.048819>
- 8- Azizi, S., Ghasemi Pirbalouti, A., & Amirmohammadi, M. (2014). Effect of Hydro-alcoholic Extract of Persian Oak (*Quercus brantii*) in Experimentally Gastric Ulcer. *Iranian Journal of Pharmaceutical Research*, 13(3), 967-974. doi:10.22037/ijpr.2014.1532
- 9- Bahramikia, S., & Yazdanparast, R. (2012). Anti-amyloidogenic and fibril-destabilizing effects of two manganese-salen derivatives against hen egg-white lysozyme aggregation. *International journal of biological macromolecules*, 50(1), 187-197. doi: <https://doi.org/10.1016/j.ijbiomac.2011.10.018>
- 10- Bahramikia, S., Yazdanparast, R., & Gheysarzadeh, A. (2012). Syntheses and Structure-Activity Relationships of Seven Manganese-Salen Derivatives as Anti-amyloidogenic and Fibril-destabilizing Agents Against Hen Egg-white Lysozyme Aggregation. *Chemical biology & drug design*, 80(2), 227-236. doi: <https://doi.org/10.1111/j.1747-0285.2012.01391.x>
- 11- Bilej, M. (2015). Mucosal Immunity in Invertebrates. In *Mucosal Immunology*: Fourth Edition (Vol. 1-2, pp. 135-144). Elsevier Inc. doi: <https://doi.org/10.1016/B978-0-12-415847-4.00009-4>
- 12- Bolognesi, B., Kumita, J. R., Barros, T. P., Esbjorner, E. K., Luheshi, L. M., Crowther, D. C., Wilson, M. R., Dobson, C. M., Favrin, G., Yerbury, J. J. (2010). ANS binding reveals common features of cytotoxic amyloid species. *ACS chemical biology*, 5(8), 735-740. doi: <https://doi.org/10.1021/cb1001203>
- 13- Chethana, K. R., Senol, F. S., Orhan, I. E., Anilakumar, K. R., Keri, R. S. (2017). Cassia tora Linn.: A boon to Alzheimer's disease for its anti-amyloidogenic and cholinergic activities. *Phytomedicine: international journal of phytotherapy and phytopharmacology*, 33, 43-52. doi: 10.1016/j.phymed.2017.06.002

- 14- Chiti, F., & Dobson, C. M. (2006). Protein misfolding, functional amyloid, and human disease. *Annual Review of Biochemistry*, 75, 333-366. doi: <https://doi.org/10.1146/annurev.biochem.75.101304.123901>
- 15- Custódio, L., Patarra, J., Alberício, F., da Rosa Neng, N., Nogueira, J. M. F., & Romano, A. (2015). Phenolic composition, antioxidant potential and in vitro inhibitory activity of leaves and acorns of *Quercus suber* on key enzymes relevant for hyperglycemia and Alzheimer's disease. *Industrial Crops and Products*, 64, 45-51. doi: <https://doi.org/10.1016/j.indcrop.2014.11.001>
- 16- Dobson, C. M., Swoboda, B. E. P., Joniau, M., & Weissman, C. (2001). The structural basis of protein folding and its links with human disease. In *Philosophical Transactions of the Royal Society B: Biological Sciences*, 356, 133–145. doi: <https://doi.org/10.1098/rstb.2000.0758>
- 17- Eisenberg, D., & Jucker, M. (2012). The amyloid state of proteins in human diseases. *Cell*, 148, 1188-1203. doi: <https://doi.org/10.1016/j.cell.2012.02.022>
- 18- Feng, S., Song, X. H., & Zeng, C. M. (2012). Inhibition of amyloid fibrillation of lysozyme by phenolic compounds involves quinoprotein formation. *FEBS Letters*, 586(22), 3951–3955. doi: <https://doi.org/10.1016/j.febslet.2012.09.037>
- 19- Funahashi, J., Takano, K., Ogasahara, K., Yamagata, Y., & Yutani, K. (1996). The Structure, Stability, and Folding Process of Amyloidogenic Mutant Human Lysozyme. *The Journal of Biochemistry*, 120(6), 1216-1223. doi: [10.1093/oxfordjournals.jbchem.a021544](https://doi.org/10.1093/oxfordjournals.jbchem.a021544)
- 20- Hawe, A., Sutter, M., & Jiskoot, W. (2008). Extrinsic fluorescent dyes as tools for protein characterization. *Pharmaceutical Research*, 25, 1487-1499. doi: <https://doi.org/10.1007/s11095-007-9516-9>
- 21- Howie, A. J., & Brewer, D. B. (2009). Optical properties of amyloid stained by Congo red: history and mechanisms. *Micron*, 40(3), 285-301. doi: <https://doi.org/10.1016/j.micron.2008.10.002>
- 22- Kumar, S., Harris, R. J., Seal, C. J., and Okello, E. J. (2011). An Aqueous Extract of *Withania somnifera* Root Inhibits Amyloid β Fibril Formation In Vitro. *Phytotherapy Research*, 26(1), 113–117. doi: [10.1002/ptr.3512](https://doi.org/10.1002/ptr.3512)
- 23- Necula, M., Kayed, R., Milton, S., & Glabe, C. G. (2007). Small molecule inhibitors of aggregation indicate that amyloid β oligomerization and fibrillization pathways are independent and distinct. *Journal of Biological Chemistry*, 282(14), 10311–10324. doi: <https://doi.org/10.1074/jbc.M608207200>
- 24- Nilsson, M. R. (2004). Techniques to study amyloid fibril formation in vitro. *Methods*, 34(1), 151-160. doi: <https://doi.org/10.1016/jymeth.2004.03.012>
- 25- Popović, B. M., Štajner, D., Ždero, R., Orlović, S., & Galić, Z. (2013). Antioxidant characterization of oak extracts combining spectrophotometric assays and chemometrics. *The Scientific World Journal*, 2013. doi: <https://doi.org/10.1155/2013/134656>
- 26- Qin, X. Y., Cheng, Y., Yu, L. C. (2012). Potential protection of green tea polyphenols against intracellular amyloid beta-induced toxicity on primary cultured prefrontal cortical neurons of rats. *Neuroscience Letters*, 513, 170–173. doi: <https://doi.org/10.1016/j.neulet.2012.02.029>
- 27- Slinkard, K., & Singleton, V. L. (1977). Total phenol analysis: automation and comparison with manual methods. *American journal of enology and viticulture*, 28(1), 49-55. doi: <https://doi.org/10.1016/j.carbpol.2011.06.030>
- 28- Soto, C. (1999). Alzheimer's and prion disease as disorders of protein conformation: Implications for the design of novel therapeutic approaches. *Journal of Molecular Medicine*, 77, 412-418. doi: <https://doi.org/10.1007/s001090050371>
- 29- Stangou, A. J., & Hawkins, P. N. (2004). Liver transplantation in transthyretin-related familial amyloid polyneuropathy. *Current Opinion in Neurology*, 17, 615-620. doi: <https://doi.org/10.1097/00019052-200410000-00012>
- 30- Sunde, M., Serpell, L. C., Bartlam, M., Fraser, P. E., Pepys, M. B., & Blake, C. C. F. (1997). Common core structure of amyloid fibrils by synchrotron X-ray diffraction. *Journal of molecular biology*, 273(3), 729-739. doi: <https://doi.org/10.1006/jmbi.1997.1348>
- 31- Taleshi, H., & Babarabi, M. M. (2013). Leaf morphological variation of *Quercus brantii Lindl.* along an altitudinal gradient in Zagros forests of Fars Province, Iran. *European Journal of Experimental Biology*, 3(5), 463-468. Retrieved from www.pelagiaresearchlibrary.com

- 1400، شماره ۴، جلد ۳۴
- 32- Yuan Luo, Y., Smith, J. V., Paramasivam, V., Burdick, A., Curry, K. J., Buford, J. P., Khan, I., Netzer, W. J., Xu, H., and Butko, P. (2002). Inhibition of amyloid- β aggregation and caspase-3 activation by the *Ginkgo biloba* extract EGb761. *Proceedings of the National Academy of Sciences of the United States of America*, 99 (19), 12197–12202. doi: <https://doi.org/10.1073/pnas.182425199>
- 33- Uptu, V. B., Indi, S. S., and Rao, K. S. J. (2009). *Garlic* extract exhibits antiamyloidogenic activity on amyloid-beta fibrillogenesis: relevance to Alzheimer's disease. *Phytotherapy Research*, 23(1), 111-115. doi:10.1002/ptr.2574
- 34- Zhishen, J., Mengcheng, T., & Jianming, W. (1999). The determination of flavonoid contents in mulberry and their scavenging effects on superoxide radicals. *Food chemistry*, 64(4), 555-559. doi: [https://doi.org/10.1016/S0308-8146\(98\)00102-2](https://doi.org/10.1016/S0308-8146(98)00102-2)
- 33- Uptu, V. B., Indi, S. S., and Rao, K. S. J. (2009). *Garlic* extract exhibits antiamyloidogenic

Investigation the effect of *Quercus brantii* fruit-hull extract on hen egg-white lysozyme fibrillation and defibrillation

Faramarzian M.¹ and Bahramikia S.^{2*}

¹ Dept. of Biology, Lorestan University, Khorramabad, I.R. of Iran

² Dept. of Biology, Faculty of Science, Lorestan University, Khorramabad, I.R. of Iran

Abstract

In normal physiological conditions, proteins are mostly spherical and water-soluble. In some cases, proteins are converted into structures called fibrils or amyloid plaques that are insoluble and pathogenic. In this study, the effects of hydroalcoholic extracts of *Quercus brantii* fruit-hull on the formation of hen egg-white lysozyme fibrils as well as the effect of this extract on the elimination of preformed HEWL fibrils have been investigated. For this purpose, lysozyme was incubated in presence and absence of *Q. brantii* extract at 60 °C for 15 days. The effect of extract was evaluated using CR binding assay, CD spectroscopy, THT and ANS fluorescence testing, and FE-SEM microscope. The results showed that *Q. brantii* extract in all tested ratios has an inhibitory effect on the formation of amyloid fibrils. Also, the extract has an accelerating effect on the defibrillation of amyloid aggregates and the greatest effect of it on defibrillation is observed in the ratio of 0.5: 1 extract to fibril. From the results obtained in this study, it can be concluded that *Quercus brantii* fruit-hull contains compounds that can be used as agents in the preparation of drugs for the removal of amyloid plaques in the treatment of amyloid-dependent diseases.

Key words: *Quercus brantii*, Oak extract, Amyloid fibrils, Amyloid diseases, Amyloid plaques, Hen egg-white lysozyme, HEWL